

ارزیابی قابلیت روش اولتراسونیک در اندازه‌گیری تنش پسماند طولی جوش کاری به وسیله اعتبارسنجی با روش پرتو ایکس

محمد افتخاری^۱، مهدی احمدی نجف‌آبادی^{۲*}

۱- دانشجوی کارشناسی ارشد، مهندسی مکانیک، دانشگاه صنعتی امیرکبیر، تهران

۲- دانشیار، مهندسی مکانیک، دانشگاه صنعتی امیرکبیر، تهران

* تهران، صندوق پستی: 4413-15875

اطلاعات مقاله

مقاله پژوهشی کامل

دریافت: 30 اردیبهشت 1394

پذیرش: 07 تیر 1394

ارائه در سایت: 31 تیر 1394

کلید واژگان:

تنش پسماند جوش کاری

روش اولتراسونیک

روش پرتو ایکس

آلیاژ آلومینیوم سری 5000

چکیده
در سال‌های اخیر، اندازه‌گیری تنش پسماند با روش اولتراسونیک به دلیل ماهیت غیرمخرب، تجهیزات قابل حمل، ارزان و سریع بودن، در حال توسعه است. در این پژوهش، قابلیت روش اولتراسونیک با استفاده از موج طولی با زاویه شکست بحرانی یا موج LCR در اندازه‌گیری تنش پسماند طولی ناشی از جوش کاری، مورد بررسی قرار گرفته است. بدین منظور دو ورق از جنس آلیاژ آلومینیوم سری 5000 با روش جوش کاری تیگ به هم متصل شد. اندازه‌گیری تنش پسماند طولی با روش اولتراسونیک، توسط ترنسدیوسرهای 5 مگاهرتزی و در عمق نزدیک به سطح و بر مبنای تئوری آکستواستیسیته انجام شد. برای ایجاد موج LCR و ارسال آن به درون قطعه، گوه اولتراسونیک بر مبنای قانون اسلن ساخته شد، همچنین از یک میز سه محوره برای کنترل حرکت گوه و ثابت نگهداشت فشار روی آن استفاده گردید. به منظور محاسبه تنش پسماند افزایش دقت، ضریب آکستواستیک برای هر سه ناحیه جوش کاری فلز جوش، HAZ و فلز پایه به صورت جداگانه با انجام آزمون کشش تکمحوره به دست آمد. جهت مقایسه نتایج هر دو روش مورد استفاده با هم، تطابق خوبی مشاهده شد که نشان‌دهنده قابلیت خوب روش اولتراسونیک در اندازه‌گیری تنش پسماند طولی است.

Evaluation of the Capability of Ultrasonic Method for Measuring Longitudinal Welding Residual Stress, by Validating with X-Ray Diffraction Method

Mohammad Eftekhar, Mehdi Ahmadi Najafabadi*

1- Department of Mechanical Engineering, Amirkabir University, Tehran, Iran.

* P.O.B. 4413-15875 Tehran, Iran, ahmadin@aut.ac.ir

ARTICLE INFORMATION

Original Research Paper

Received 20 May 2015

Accepted 28 June 2015

Available Online 22 July 2015

Keywords:

Welding Residual Stress
Ultrasonic Method
X-Ray Diffraction Method
Aluminum Alloy Series 5000

ABSTRACT

In recent years, measurement of residual stress by ultrasonic method has developed because of its nondestructive nature, portable equipment and being cheap and fast. In this research, the capability of ultrasonic method by using longitudinal critically refracted or LCR wave in measurement of longitudinal welding residual stress has been scrutinized. For this purpose, two plates of aluminum alloy series 5000 were joined by TIG welding method. Measurement of longitudinal residual stress by ultrasonic method was done in closeness of surface via 5 MHz transducers based on acoustoelasticity theory. In order to create LCR wave and transmit it into specimen, an ultrasonic wedge was made based on Snell's law. Also, a triaxial table was used to control the wedge movement and keep the pressure on it fixed. In order to calculate residual stress and increase in accuracy, acoustoelastic constant for each three welding zones, including weld metal, HAZ and base metal was obtained separately from uniaxle tension test. In order to validate ultrasonic method results, measured longitudinal residual stress by x-ray diffraction method in 5 points on the specimen surface was used. Finally, after comparing the results of the two used methods with each other, good agreement was seen which indicates the good ability of ultrasonic method in measurement of longitudinal residual stress.

قطعاتی که در حال کار در سیستم است، قابل اجرا نیستند و بنابراین امروزه

ضرورت استفاده از روش‌های غیرمخرب در بسیاری از بخش‌های صنعت به

اثبات رسیده است. یکی از روش‌های غیرمخرب اندازه‌گیری تنش در حال

توسعه، به کارگیری امواج آلتراسونیک است. علت توجه روزافزون به روش

1- مقدمه

آگاهی از مقدار و چگونگی توزیع تنش‌ها، همواره مورد توجه بسیاری از محققین و مهندسین بوده است. روش‌های دقیقی که برای ارزیابی تنش‌های پسماند استفاده می‌شوند عموماً از نوع مخرب است. این روش‌ها اغلب برای

Please cite this article using:

M. Eftekhar, M. Ahmadi Najafabadi, Evaluation of the Capability of Ultrasonic Method for Measuring Longitudinal Welding Residual Stress, by Validating with X-Ray Diffraction Method, *Modares Mechanical Engineering*, Vol. 15, No. 9, pp. 1-10, 2015 (In Persian)

برای ارجاع به این مقاله از عبارت ذیل استفاده نمایید:

[DOR: 20.1001.1.10275940.1394.15.9.20.2]

LCR برای اندازه‌تنش پسماند در جوش کاری اصطکاکی آلیاژ آلومینیوم AA7075-T6 استفاده کردند.

در سال 2012 و 2013، جودای [13,12,1] تنش‌های پسماند جوشی در نمونه‌هایی از جنس فولاد زنگنزن آستنیتی L304L که به روش تیگ جوش کاری شده بودند را به کمک امواج طولی LCR اندازه‌گیری کرد و نتایج به دست آمده را با نتایج روش کرنش‌سنجدی سوراخ اعتبارسنجی و تطابق خوبی را مشاهده کرد.

امروزه تلاش برای اثبات قابلیت روش اولتراسونیک در اندازه‌گیری تنش پسماند و تدوین یک استاندارد معتبر برای آن همچنان ادامه دارد. در این پژوهش، قابلیت روش اولتراسونیک در اندازه‌گیری تنش پسماند طولی ناشی از جوش کاری، با یک روش غیرمخرب دیگری (پرتو ایکس) که دقیق‌تر است، بررسی شده که در بالاتری دارد و برای آن استاندارد [14] تدوین شده است، همچنین در پژوهش‌های دیگر به این مسئله چندان پرداخته نشده است، همچنین در مطالعات اندازه‌گیری تنش پسماند با استفاده از روش اولتراسونیک، کمتر به آلومینیوم و بهویژه جوش کاری ذوبی آن پرداخته شده است؛ بنابرین آلیاژ آلومینیوم سری 5000 و روش جوش کاری ذوبی تیگ (گاز محافظ آرگون و الکترود تنگستنی) برای پژوهش انتخاب شد. آلیاژ‌های آلومینیوم سری 5000، در صنایع مختلفی نظیر صنایع دریایی، هواپما و ساخت مخازن تحت فشار مورد استفاده قرار می‌گیرند، بنابراین در این صنایع، اتصال این آلیاژها با روش جوش کاری، از اهمیت بسزایی برخوردار است.

2- روش تحقیق

2-1- مواد و آماده‌سازی نمونه‌ها

برای این پژوهش دو ورق از جنس آلیاژ آلومینیوم سری 5000، با درصد عناصر سازنده مندرج در جدول 1 و خواص مکانیکی مندرج در جدول 2، به ابعاد 150×50 میلی‌متر و به ضخامت 8 میلی‌متر تهیه شد. سایز کردن ورق‌ها و ایجاد پخ جوش کاری V شکل با زاویه 60 درجه، توسط ماشین کاری AWS AWS D1.2/D1.2M [15] انتخاب شد.

از روش جوش کاری تیگ یا جوش کاری با الکترود تنگستنی و گاز محافظ آرگون که یکی از روش‌های مرسوم جوش کاری آلیاژ‌های آلومینیوم است، برای اتصال ورق‌ها به صورت لب‌به‌لب، استفاده شد. براساس همان استاندارد AWS AWS D1.2/D1.2M، فیلر ER5183 به منظور جوش کاری انتخاب شد و درنهایت جوش کاری با جریان متناوب و در دو پاس، با پارامترهای موجود در جدول 3 انجام شد. در هنگام جوش کاری از قیودی مطابق شکل 1 به منظور مهار قطعه و ایجاد تنش پسماند بیشتر استفاده گردید.

جدول 1 درصد عناصر تشکیل‌دهنده آلیاژ آلومینیوم سری 5000 مورد استفاده

Cu	Cr	Zn	Fe	Si	Mn	Mg	Al
0/06	0/09	0/09	0/15	0/25	0/60	4/25	فلز اصلی

جدول 2 خواص مکانیکی آلیاژ آلومینیوم سری 5000 مورد استفاده

مدول	تنش تسلیم	تنش نهایی	ضریب پواسون	کششی	الاستیسیته
(GPa)				(MPa)	(MPa)

71

0/33

337

226

التراسونیک و تلاش برای اثبات قابلیت این روش در اندازه‌گیری تنش پسماند، ماهیت غیرمخرب، قابل حمل بودن، ارزان و سریع بودن اندازه‌گیری با آن است، همچنین این روش، برخلاف بسیاری از روش‌های دیگر که تنش را در سطح قطعه اندازه می‌گیرند، قابلیت اندازه‌گیری تنش در عمق قطعه را بسته به فرکانس موج مورد استفاده دارد. اندازه‌گیری تنش پسماند با روش اولتراسونیک بر پایه خاصیت آکستوالاستیک مواد استوار است که براساس این خاصیت، سرعت انتشار موج اولتراسونیک در ماده به تنش موجود در آن بستگی دارد [1].

جرقه آغاز فعالیت‌های مربوط به بحث اولتراسونیک و تنش به شخصی به نام مورنگان [2] بازمی‌گردد. ایشان رابطه سرعت موج اولتراسونیک در یک محیط تحت تنش را بر حسب ضرایب درجه سوم در تابع انرژی بیان کرد. آغاز توسعه استفاده از روش اولتراسونیک برای اندازه‌گیری تنش، توسط دو محقق هوگس و کلی [3] در سال 1953 و بر پایه نتایج و تئوری الاستیسیته غیرخطی مورنگان بود. آن‌ها تغییرات سرعت موج اولتراسونیک را به عنوان تابعی از کرنش‌های الاستیک ماده همسانگرد، بیان کرده و با این کار تئوری آکستوالاستیسیته را پایه‌گذاری کردند.

کرکرافت [4] در سال 1967 نشان داد که با استفاده از تئوری اثر آکستوالاستیک می‌توان تنش را در قطعات مهندسی برآورد کرد. ایگل و بری [5] در سال 1976، تغییرات ناشی از تنش بر سرعت موج اولتراسونیک را در نمونه‌های فولادی اندازه‌گیری کردند. با کار آن‌ها پیش‌بینی‌های تئوریک، تأیید شد و از آن پس در اندازه‌گیری‌ها به کار گرفته شد. آن‌ها به این نتیجه رسیدند که امواج طولی با زاویه شکست بحرانی¹ بیشترین حساسیت را در مقابل تغییرات تنش از خود نشان می‌دهند. ایگل و بری [7,6] در سال‌های 1978 و 1979 از امواج طولی با زاویه شکست بحرانی برای اندازه‌گیری تنش در ریل قطار استفاده کردند.

نخستین استفاده از روش اولتراسونیک در زمینه اندازه‌گیری تنش پسماند جوشی به شخصی به نام سالامانکا [8] بازمی‌گردد. ایشان در سال 1990 از امواج طولی با زاویه شکست بحرانی برای اندازه‌گیری تنش پسماند ناشی از جوش کاری در فولاد سری 60 استفاده کرد. ایشان توانست با تغییر فرکانس تحریک موج، تنش پسماند را در اعمق متفاوتی زیر سطح ورق اندازه‌گیری کند، همچنین نتایج حاصل از اندازه‌گیری تنش پسماند با روش اولتراسونیک را با نتایج حاصل از اندازه‌گیری با روش کرنش‌سنجدی سوراخ مقایسه کرد که تطابق قابل قبولی به دست آمد. این کار توانایی روش اولتراسونیک در اندازه‌گیری تنش پسماند در عمق قطعه را برجسته‌تر کرد.

سالامانکا و بری [9] در سال 1995 از امواج طولی با زاویه شکست بحرانی برای اندازه‌گیری تنش پسماند جوشی در ورق‌های نورد گرم و سرد شده استفاده کردند. همچنین اثر انجام عمل تنش‌گیری را روی تنش پسماند بررسی کردند. بری موفق شد در سال‌های 2002 و 2003 این روش اندازه‌گیری تنش را به عنوان تنها روش غیرمخرب که توانایی اندازه‌گیری تنش پسماند در لایه‌های زیرین سطح را دارد، ثبت اختراع کند.

لو و دیگران [10] در سال 2008 با استفاده از امواج طولی با زاویه شکست بحرانی، تنش پسماند حاصل از جوش لب‌به‌لب را در نواحی به جز ناحیه فلز جوش، در ورق‌هایی از جنس فولاد Q235 و آلومینیوم 2219 اندازه‌گیری کرده و با داده‌های حاصل از کار شبیه‌سازی که در نرم‌افزار مارک² انجام شده بود، مقایسه کردند. گاچی و سایرین [11] در سال 2011 از امواج

1- Longitudinal Critically Refracted (LCR)

2- Marc

می‌شود و دو نوع موج التراسونیک طولی و عرضی یا برشی تولید می‌کند. زوایای انکسار دو موج طولی و عرضی به ترتیب با θ_1 و θ_2 نشان داده شده است. این دو زاویه به زاویه تابش⁵ θ_0 ، بنا به معادله اسنل⁶، یعنی معادله (1) مربوط است؛ که در این فرمول C_0 سرعت موج طولی برخوردي در محیط 1، C_1 سرعت موج طولی در محیط 2 و C_s سرعت موج عرضی در محیط 2 است.

$$\frac{\sin\theta_0}{C_0} = \frac{\sin\theta_1}{C_1} = \frac{\sin\theta_2}{C_s} \quad (1)$$

چنان‌چه هدف این باشد که موج طولی منكسرده در محیط 2، روی سطح قطعه بیفتد و در امتداد سطح قطعه حرکت کند باید زاویه انکسار موج طولی در محیط 2 برابر با 90 درجه شود؛ بنابراین طبق معادله اسنل، زاویه تابش موج طولی در محیط 1 باید مقدار خاصی باشد، که این زاویه تابش را زاویه بحرانی اول یا θ_{cr} می‌نامند. برای به دست آوردن این زاویه تابش، کافی است در رابطه اسنل به جای θ_1 مقدار 90 درجه قرار داده شود، آن‌گاه θ_0 به دست آمده همان زاویه بحرانی نخست و فرمول آن به شکل رابطه (2) خواهد بود.

$$\theta_{cr} = \sin^{-1}(C_0/C_1) \quad (2)$$

این موج طولی ایجادشده در سطح ماده 2 که به موازات سطح منتشر می‌شود را همان موج طولی با زاویه شکست بحرانی یا موج LCR می‌گویند [16].

هوگس و کلی⁷ با توجه به شکل 3 معادلات مربوط به ارتباط سرعت‌های موج التراسونیک با کرنش الاستیک را در یک جسم ایزوتropیک به صورت روابط (11-3) بیان کردند.

$$\rho_0 V_{11}^2 = \lambda + 2\mu + (2l + \lambda)\theta + (4m + 4\lambda + 10\mu)\alpha_1 \quad (3)$$

$$\rho_0 V_{12}^2 = \mu + (m + \lambda)\theta + 4\mu\alpha_1 + 2\mu\alpha_2 - \frac{1}{2}n\alpha_3 \quad (4)$$

$$\rho_0 V_{13}^2 = \mu + (m + \lambda)\theta + 4\mu\alpha_1 + 2\mu\alpha_3 - \frac{1}{2}n\alpha_2 \quad (5)$$

$$\rho_0 V_{21}^2 = \mu + (m + \lambda)\theta + 2\mu\alpha_1 + 4\mu\alpha_2 - \frac{1}{2}n\alpha_3 \quad (6)$$

$$\rho_0 V_{22}^2 = \lambda + 2\mu + (2l + \lambda)\theta + (4m + 4\lambda + 10\mu)\alpha_2 \quad (7)$$

$$\rho_0 V_{23}^2 = \mu + (m + \lambda)\theta + 4\mu\alpha_2 + 2\mu\alpha_3 - \frac{1}{2}n\alpha_1 \quad (8)$$

$$\rho_0 V_{31}^2 = \mu + (m + \lambda)\theta + 4\mu\alpha_3 + 2\mu\alpha_1 - \frac{1}{2}n\alpha_2 \quad (9)$$

$$\rho_0 V_{32}^2 = \mu + (m + \lambda)\theta + 4\mu\alpha_3 + 2\mu\alpha_2 - \frac{1}{2}n\alpha_1 \quad (10)$$

$$\rho_0 V_{33}^2 = \lambda + 2\mu + (2l + \lambda)\theta + (4m + 4\lambda + 10\mu)\alpha_3 \quad (11)$$

در روابط بالا α_1 , α_2 و α_3 بیانگر کرنش‌های اصلی، ρ_0 چگالی نخستین (یا اعمال تنش، چگالی قطعه تغییر می‌کند)، μ و λ ثابت‌های الاستیک درجه دوم⁸, n و m ثابت‌های الاستیک درجه سوم⁹ و $\theta = 3\alpha_1 + 2\alpha_2 + \alpha_3$ هستند. بیانگر سرعت موج التراسونیکی است که در آن اندیس α_1 نشانگر جهت انتشار موج و اندیس α_2 زنگنه نشانگر جهت ارتعاش ذرات تحت تأثیر موج است. برای نمونه V_{23} بیانگر انتشار یا ارسال موج در جهت 2 و حرکت ذرات حامل موج در راستای جهت 3 است. از آن‌جا که موج طولی، موجی است که جهت انتشار آن با جهت ارتعاش ذره یکسان باشد؛ بنابراین بر این اساس، سرعت‌های V_{11} , V_{12} و V_{13} نشانگر امواج طولی است که از این بین V_{11} سرعت موج طولی است که در راستای اعمال بار (امتداد جهت 1) در قطعه منتشر می‌شود. سایر سرعت‌ها مربوط به امواج عرضی هستند که در آن‌ها ذرات، عمود بر راستای

جدول 3 پارامترهای جوش کاری

شماره پاس جوش کاری	سرعت جوش کاری (mm/s)	قطبیت	ولتاژ (V)	شدت جریان (A)
1	0/66	AC	15	140
2	0/77	AC	15	150



شکل 1 شرایط و قیدوبندهای جوش کاری

پس از جوش کاری مشاهده شد که گردهای به ارتفاع 0/6 میلی‌متر پدید آمد که با استفاده از سنباده‌زنی، این گرده با سطح ورق، همان‌ارتفاع شد تا هم سنسور التراسونیک به راحتی بتواند روی موضع جوش قرار گیرد و زمان پرواز را در خود فلز جوش اندازه‌گیری کند و هم در اندازه‌گیری تنش با پرتو ایکس، لازم بود که سطح قطعه هموار باشد تا از تفرقه‌های ناخواسته پرتو ایکس جلوگیری شود.

2- اندازه‌گیری تنش پسماند طولی جوش کاری با روش التراسونیک

2-1- تئوری اندازه‌گیری تنش پسماند با روش التراسونیک زاویه شکست بحرانی¹ و یا به اختصار امواج LCR است. این روش محدودیتی از نظر جنس ماده‌ای که مورد بررسی قرار می‌گیرد، ندارد و نیز برای اندازه‌گیری در قطعات ضخیم نیز مناسب است. اندازه‌گیری تنش پسماند با روش التراسونیک بر پایه خاصیت آکستوالاستیک مواد استوار است که براساس این خاصیت، سرعت انتشار موج التراسونیک در ماده به تنش موجود در آن بستگی دارد.

اصول ایجاد موج LCR این‌گونه است که وقتی موج طولی به مرز مشترک دو ماده با مقاومت آکوستیکی² متفاوت (یعنی سرعت انتشار موج طولی در این دو ماده متفاوت است)، برخورد می‌کند، قسمتی از آن منعکس شده، بازمی‌گردد که این فرآیند را انعکاس³ می‌گویند و قسمتی از آن با زوایای معینی وارد ماده می‌شود که به این فرآیند انکسار⁴ می‌گویند. قسمت منعکشده به دو دسته موج طولی و عرضی تقسیم می‌شود که هر کدام با زاویه متفاوتی در قطعه انتشار می‌یابند. همان‌طور که در شکل 2 مشهود است، بخشی از موج برابر با همان زاویه تابش θ_0 به محیط 1 منعکس می‌شود، مابقی موج یکی وارد محیط 2

5- Snell's Equation

6- Hughes and Kelly

7- Lame's Elastic Constants

8- Murnaghan's Elastic Constants

1- Longitudinal Critically Refracted

2- Acoustic Impedance

3- Reflection

4- Refraction

$$\rho_0 V_{11}^2 = \lambda + 2\mu + [4(2\mu + \lambda) + 2(\mu + 2m) + v \times \mu \left(1 + \frac{2l}{\lambda}\right)]\varepsilon \quad (17)$$

$$\rho_0 V_{12}^2 = \rho_0 V_{13}^2 = \mu + [4\mu + m(1 - 2v) + v \left(\frac{n}{2}\right)]\varepsilon \quad (18)$$

$$\rho_0 V_{22}^2 = \lambda + 2\mu + [2l(1 - 2v) - 4v(m + \lambda + 2\mu)]\varepsilon \quad (19)$$

$$\rho_0 V_{21}^2 = \rho_0 V_{31}^2 = \mu + [(\lambda + 2\mu + m)(1 - 2v) + v \left(\frac{n}{2}\right)]\varepsilon \quad (20)$$

$$\rho_0 V_{23}^2 = \rho_0 V_{32}^2 = \mu + [(\lambda + m)(1 - 2v) - 6\mu \times v \left(\frac{n}{2}\right)]\varepsilon \quad (21)$$

برای محاسبه تغییرات سرعت موج نسبت به کرنش، کافی است از طرفین معادلات بالا نسبت به کرنش، مشتق بگیریم که معادلات (26-22) به دست می‌آیند.

$$\frac{dV_{11}/V_{11}^0}{d\varepsilon} = 2 + \frac{\mu + 2m + \mu \times v(1 + 2l/\lambda)}{\lambda + 2\mu} = L_{11} \quad (22)$$

$$\frac{dV_{12}/V_{12}^0}{d\varepsilon} = 2 + \frac{n \times v}{4\mu} + \frac{m}{2(\lambda + \mu)} = L_{12} \quad (23)$$

$$\frac{dV_{21}/V_{21}^0}{d\varepsilon} = \frac{\lambda + 2\mu + m}{2(\lambda + \mu)} + \frac{n \times v}{4\mu} = L_{21} \quad (24)$$

$$\frac{dV_{22}/V_{22}^0}{d\varepsilon} = -2v[1 + \frac{m - \mu l}{\lambda + 2\mu}] = L_{22} \quad (25)$$

$$\frac{dV_{23}/V_{23}^0}{d\varepsilon} = \frac{m - 2\mu}{2(\lambda + \mu)} + \frac{n}{4\mu} = L_{23} \quad (26)$$

در روابط بالا L_{ij} را که نسبت تغییرات سرعت موج به تغییرات کرنش است، ثابت آکستوالاستیک⁴ می‌گویند و اندیس ۰ نشانگر سرعت موج در حالتی است که ماده بدون کرنش و تغییر شکل باشد. L_{11} ضریب آکستوالاستیک موج LCR است [17].

با استفاده از رابطه تنش-کرنش یکبعدی در مواد الاستیک می‌توان مقدار تغییرات تنش را با تغییر رابطه (22) به طریق رابطه (27) به دست آورد.

$$d\sigma = \frac{E(dV_{11}/V_{11}^0)}{L_{11}} \quad (27)$$

در فرمول بالا $d\sigma$ تغییرات تنش و E مدول الاستیسیته است [1]. رابطه (27) را می‌توان بر حسب زمان پرواز موج به صورت رابطه (28) ارائه کرد که در رابطه (28) بیانگر زمان پرواز موج در ماده بدون تنش و dt بیانگر تغییرات زمان پرواز موج به دلیل حضور تنش است.

$$d\sigma = \frac{E(dt/t_0)}{L_{11}} \quad (28)$$

معادله بالا را می‌توان برای دیگر جهت‌ها نیز استفاده کرد. درنهایت برای اندازه‌گیری تغییرات تنش از روی تغییرات زمان پرواز موج، از رابطه (29) استفاده می‌شود.

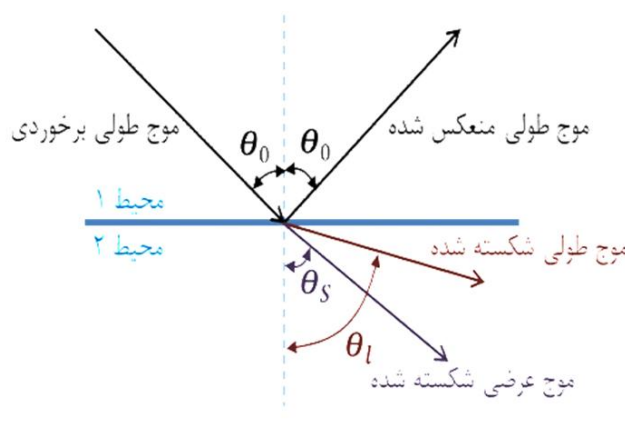
$$\Delta\sigma = \frac{E}{L \times t_0} \Delta t = \frac{E(t - t_0)}{L \times t_0} \quad (29)$$

در رابطه بالا، L ضریب آکستوالاستیک ماده است که به صورت تجربی و با انجام تست کشش تکمحوره برای هر ماده اندازه‌گیری می‌شود، همچنین در معادله بالا، t زمان پرواز موج در ماده تحت تنش و t_0 زمان پرواز موج در همان ماده ولی در حالت بدون تنش است [18].

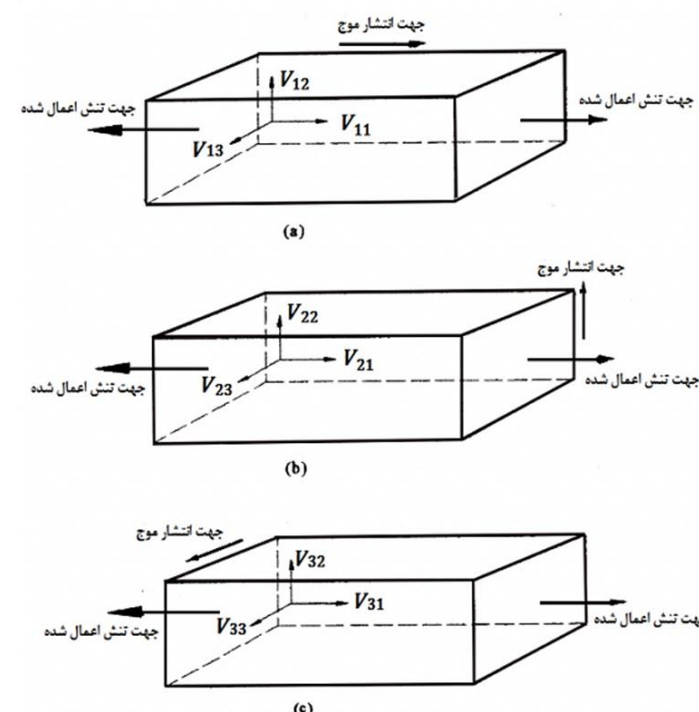
2-2-2- آماده‌سازی تجهیزات اندازه‌گیری تنش پسماند با روش التراسونیک جهت ایجاد و ارسال موج LCR و دریافت آن، از ترنسدیوسر⁵ های موج

4- Acoustoelastic constant

5- Transducer



شکل 2 نتیجه برخورد موج طولی از یک محیط به محیط دیگر [16]



شکل 3 سرعت‌های مورد استفاده در روابط آکستوالاستیسیته [16]

انتشار موج، مرتعش می‌شوند.

از دیدگاه میکروسکوپی، اعمال تنش به یک ماده جامد سبب تغییر مدول الاستیک، فاصله بین اتمی و چگالی آن می‌شود. این تغییرات نیز به سهم خود سبب تغییر در سرعت موج التراسونیک می‌شود. این یعنی در قطعه تحت تنش، رابطه تنش و کرنش خطی نیست و به صورت رابطه (12) است.

$$\sigma = E\varepsilon + C\varepsilon^2 + D\varepsilon^3 + \dots \quad (12)$$

در رابطه بالا C و D به ترتیب ثابت‌های غیر هارمونیک مرتبه دوم و سوم که خود تابعی از ثوابت الاستیک درجه دوم و سوم است. در برخی از حالات از جملات غیرخطی صرف نظر می‌کنند، ولی در آکستوالاستیسیته نه تنها از آن‌ها صرف نظر نمی‌کنند بلکه آن‌ها بیشتر هم مورد توجه قرار می‌گیرند. با استفاده از ثوابت الاستیک درجه دوم، می‌توان مدول‌های مهندسی روابط (15-13) را نیز به دست آورد.

$$G = \mu \quad (13)$$

$$E = \mu(3\lambda + 2\mu)/(\lambda + \mu) \quad (14)$$

$$K = (3\lambda + 2\mu)/3 \quad (15)$$

در روابط بالا G ، E و K به ترتیب مدول‌های برشی¹، یانگ² و بالک³ است. در حالت تنش تکمحوره که تنش در جهت 1 به قطعه وارد می‌شود و کرنش در این جهت ε و ضریب پواسون v است. معادلات سرعت که بالاتر بیان شده، به شکل روابط (21-16) در می‌آیند.

$$\alpha_1 = \varepsilon, \quad \alpha_2 = \alpha_3 = -v \times \varepsilon \quad (16)$$

1- Shear moduli

2- Young's moduli

3- Bulk moduli

در هنگام اندازه‌گیری تنش پسماند، بین گوه التراسونیک و سطح قطعه از مایعی لزج به نام کوپلنت⁸ استفاده شد [13]؛ کوپلنت ماده‌ای است که سبب عبور موج از گوه التراسونیک به داخل ماده مورد بررسی می‌شود به طوری که زمانی گوه اندازه‌گیری روی سطح قرار داده شود، کوپلنت بین گوه و سطح قطعه قرار می‌گیرد و فاصله هوایی بین گوه و سطح را پر می‌کند و موج را به داخل قطعه عبور می‌دهد.

وجود تغییر در ضخامت کوپلنت به هنگام اندازه‌گیری با موج LCR، سبب تغییر در مسافت طی شده موج، از لحظه خروج موج از ترانس迪وسر فرستنده تا لحظه دریافت توسط ترانس迪وسر گیرنده می‌شود. در نتیجه زمان پرواز موج با تغییر ضخامت کوپلنت تغییر خواهد کرد.

جهت ثابت نگهداشتن ضخامت کوپلنت بین گوه و سطح قطعه در هنگام اندازه‌گیری زمان پرواز در نقاط مختلف، بایستی همواره فشار ثابتی به گوه التراسونیک در نقاط اندازه‌گیری، وارد شود تا ضخامت کوپلنت همواره در هنگام اندازه‌گیری تنش پسماند ثابت بماند [19]. بدین جهت از یک میز سه‌محوره مجهز به سیستم کنترل فشار و استپر موتور برای ایجاد حرکت در سه جهت اصلی کارتنین، استفاده شد. در این میز با استفاده از راهانداز مربوط به استپر موتور، امکان کنترل حرکت توسط رایانه فراهم شد و این سبب افزایش سرعت کار شد. برای اعمال فشار ثابت روی گوه از یک جک پنوماتیکی با کورس حرکتی 10 سانتی‌متر که روی میز سوار شده بود، استفاده و به منظور کنترل حرکت رفت و برگشتی جک از یک شیر پنوماتیکی دو جهته استفاده شد، همچنین برای اعمال نیروی ثابت توسط جک پنوماتیکی، یک شیر تنظیم فشار جهت ثابت نگهداشتن هوای ورودی به داخل جک، در مسیر هوای ورودی از کمپرسور استفاده شد که این خود علاوه‌بر ایجاد فشار ثابت، سبب جلوگیری از اعمال بار اضافی ناگهانی روی گوه و آسیب دیدن آن می‌شود. در شکل 6 نمایی از این میز و اجزای آن، قطعه مورد مطالعه و سایر تجهیزات لازم برای اندازه‌گیری تنش پسماند، هنگام آزمون نشان داده شده است.

2-2-3- اندازه‌گیری عمق نفوذ موج LCR

برای اندازه‌گیری عمق نفوذ موج LCR در فرکانس 5 مگاهرتز، براساس همان شکل 4 از قطعه‌ای با همان جنس آلیاژ آلومینیوم سری 5000 که با دستگاه فرز، شیاری شیبدار از ارتفاع کم تا زیاد روی آن ایجاد شده بود، استفاده شد. به این طریق که ترانس迪وسر فرستنده و گیرنده، مطابق همان شکل به صورت متقاضن در دو طرف شیار قرار داده شد و در این وضعیت، با حرکت دادن گوه

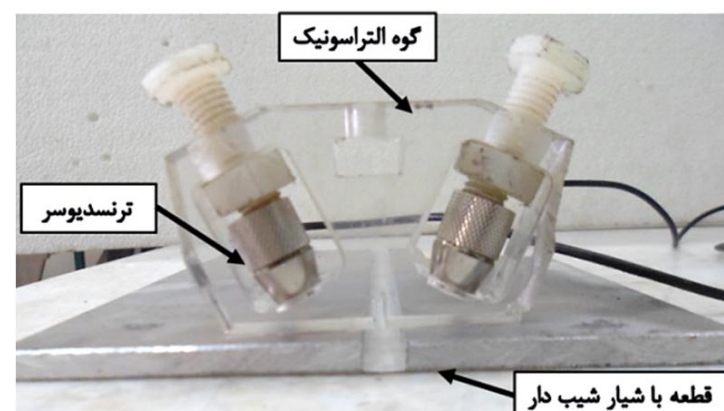


شکل 6 تجهیزات مورد استفاده در روش التراسونیک

التراسونیک استفاده می‌شود. هرچه فرکانس موج التراسونیک بیشتر باشد، عمق نفوذ موج LCR در قطعه کمتر شده و از این ویژگی برای اندازه‌گیری تنش در نواحی نزدیک به سطح قطعه استفاده می‌شود. بدین منظور از 2 عدد ترانس迪وسر 5 مگاهرتز (فرستنده و گیرنده) به قطر 5 میلی‌متر که در شکل 4 مشهود است، استفاده شد [1].

دستگاه مورد استفاده برای تولید و دریافت امواج، یک بورد التراسونیک با قابلیت اتصال به رایانه است. این بورد، اپباکس¹ نام دارد و ساخت شرکت اپتل² است که در شکل 5 نشان داده شده است. این دستگاه دارای قابلیت اتصال به رایانه است، همچنین این دستگاه قابل حمل بوده و نرخ داده‌برداری آن 100 مگاهرتز است. علی‌رغم نرخ داده برداری 100 مگاهرتزی، دستگاه مجهز به سیستم هماهنگ‌سازی³ بین سیگنال فرستاده شده⁴ و ساعت دیجیتالی داخلی⁵ است که تبدیل آنالوگ به دیجیتال⁶ را کنترل می‌کند. چنین سیستمی اندازه‌گیری زمان پرواز موج با دقت 10 نانوثانیه را میسر می‌سازد که اهمیت اساسی در مبحث اندازه‌گیری تنش پسماند دارد.

گوه التراسونیک که در همان شکل 4 نشان داده شد، قطعه‌ای از جنس پلکسی گلاس⁷ است [18] که با زاویه و شکل مناسب با برش کاری لیزر ساخته شد تا نخست سبب موقعیت‌دهی و تثبیت مکان ترانس迪وسرهای فرستنده و گیرنده در موقعیت مطلوب (زاویه بحرانی نخست) شود و دوم موج التراسونیک را به شکل موج LCR به داخل قطعه وارد کند. برای تولید موج LCR، طراحی گوه بر مبنای قانون اسنلز که در بخش تئوری بیان شد، انجام پذیرفت تا از 90 درجه بودن زاویه شکست موج خروجی از گوه اطمینان حاصل شود. بدین‌منظور در رابطه اسنل، رابطه (2)، با قرار دادن سرعت موج طولی در پلکسی گلاس یا گوه التراسونیک به عنوان محیط نخست طولی در پلکسی گلاس⁸ یا گوه التراسونیک به عنوان محیط نخست ($C_0 = C_{PMMA} = 2749 \text{ m/s}$) و سرعت موج طولی در آلیاژ آلومینیوم سری 5000 به عنوان محیط دوم ($C_1 = C_{Al} = 6393 \text{ m/s}$)، زاویه بحرانی نخست، 25 درجه به دست آمد.



شکل 4 گوه التراسونیک و اندازه‌گیری عمق نفوذ موج

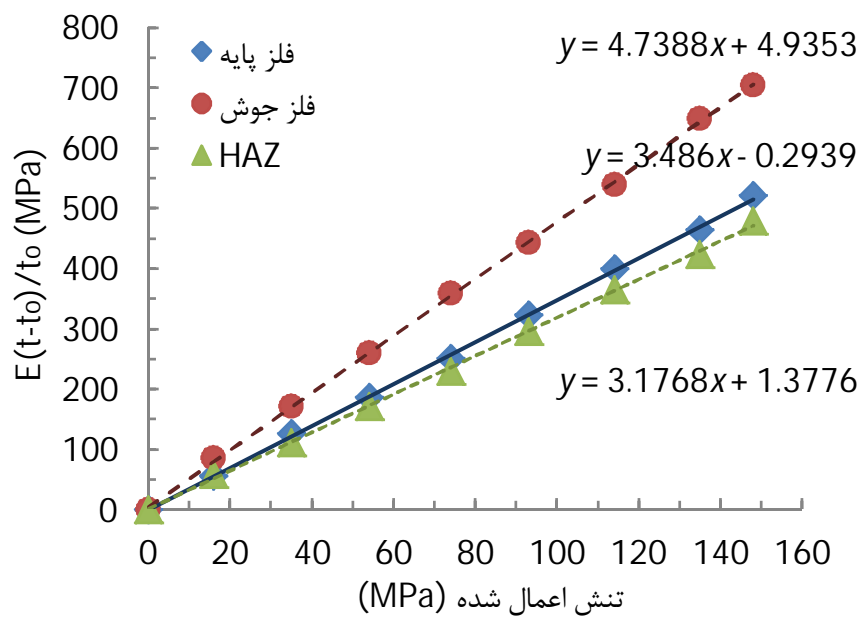


شکل 5 بورد التراسونیک مورد استفاده

- 1- OPBOX
- 2- OPTEL
- 3- Synchronization
- 4- Pulser signal
- 5- Internal clock
- 6- A/D converter
- 7- PMMA



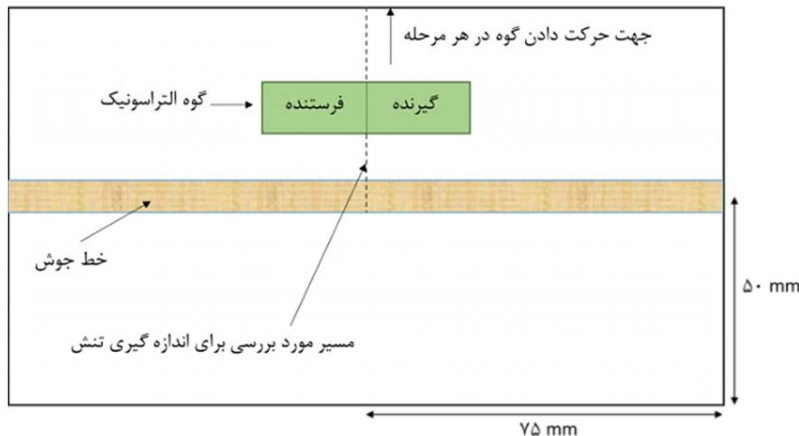
شکل 7 اندازه‌گیری ضریب آکستوالاستیک



شکل 8 نمودار محاسبه ضریب آکستوالاستیک برای سه منطقه جوشکاری

جدول 4 ضریب آکستوالاستیک به دست آمده برای سه ناحیه جوشکاری

فلز جوش	HAZ	فلز پایه	پارامتر
ضریب آکستوالاستیک	4/7388	3/1768	3/4860



شکل 9 مسیر مورد بررسی برای اندازه‌گیری تنش پسماند

آن جا که مقدار تنش پسماند طولی ناشی از جوشکاری لب به لب دو ورق، در اوسط طول ورق در مقطع موازی خط جوش، تقریباً ثابت می‌ماند [20]؛ بنابراین در نقاط موجود در فاصله بین دو ترنسدیوسر، مقدار تنش پسماند طولی تقریباً ثابتی وجود دارد به همین دلیل نقاط موجود در شکل 10، بیانگر تنش پسماند طولی جوشکاری اندازه‌گیری شده در نقاط واقع در وسط فاصله

در راستای شیار از سمت قسمتی با عمق شیار کم تا عمق زیاد، عمقی که در آن سیگنال موج LCR دیگر قابل تشخیص نباشد، به عنوان عمق نفوذ موج LCR در آن فرکانس درنظر گرفته می‌شود. پس از آزمون مشخص شد که عمق نفوذ موج LCR در فرکانس 5 مگاهرتز، کمتر از 1/1 میلی‌متر و تراکم موج در نواحی نزدیک به سطح قطعه بیشتر است.

2-2-4- اندازه‌گیری ضریب آکستوالاستیک

تغییر ریزساختار در نواحی مختلف جوش، بر زمان پرواز موج LCR تأثیر دارد؛ به همین دلیل به منظور افزایش دقت اندازه‌گیری تنش پسماند، لازم است تا ضریب آکستوالاستیک در سه ناحیه جوشکاری فلز جوش، منطقه متأثر از حرارت معروف به HAZ و فلز پایه به صورت جداگانه تعیین شود [1]. برای اندازه‌گیری ضریب آکستوالاستیک سه منطقه فلز پایه، HAZ و فلز جوش ابتدا باید مرز این مناطق مشخص شود. بدین‌منظور از قطعه جوشکاری شده یک نمونه متالوگرافی استخراج و سپس آج¹ شد که مشخص شد عرض ناحیه فلز جوش روی هر ورق 5/5 میلی‌متر و عرض ناحیه HAZ روی هر ورق 2/1 میلی‌متر است.

روش اندازه‌گیری ضریب آکستوالاستیک بدین‌گونه است که رابطه (29) معکوس می‌شود و به صورت رابطه (30) در می‌آید.

$$L = \frac{E}{(\Delta\sigma)t_0} \Delta t = \frac{E(t - t_0)}{\Delta\sigma \times t_0} \quad (30)$$

در این رابطه، در صورت معلوم بودن چهار پارامتر E , t_0 , t , σ ، ضریب آکستوالاستیک یا L محاسبه می‌شود. برای اعمال یک تنش معلوم σ از آزمون کشش تکمحوری و فک‌های دستگاه کشش استفاده می‌شود [18]. برای اندازه‌گیری ضریب آکستوالاستیک منطقه HAZ و فلز جوش، نواری به عرض 3/5 سانتی‌متر که خط جوش در وسط آن قرار داشت و شامل هر دو منطقه HAZ و فلز جوش بود، از ورق استخراج شد و تحت کشش قرار گرفت. در هنگام کشش همین نوار با تنش‌های معلوم، با عبور دادن موج LCR از ناحیه فلز جوش و ناحیه HAZ، با قرار دادن گوه التراسونیک روی این مناطق مطابق شکل 7 زمان پرواز موج اندازه‌گیری شد. برای اندازه‌گیری ضریب آکستوالاستیک فلز پایه، نمونه تست کشش استاندارد از فلز پایه استخراج شد و در دستگاه کشش تحت تنش معلوم قرار گرفت. در نهایت بنا به رابطه (30)، نموداری مطابق شکل 8 برای هر سه ناحیه جوش رسم شد که شبیه هر نمودار بیانگر ضریب آکستوالاستیک آن ناحیه است. نتایج حاصل در جدول 4 درج شده است.

2-2-5- اندازه‌گیری تنش پسماند با روش التراسونیک

به منظور اندازه‌گیری تنش پسماند طولی، مقطع عرضی تقاضن و منصف قطعه که در شکل 9 مشخص شده است، انتخاب شد. زمان پرواز موج LCR در نقاط مختلف این مقطع، توسط دو ترانسdiyosr با فرکانس 5 مگاهرتز (فرستنده و گیرنده) که مطابق همان شکل 9 در گوه بسته شده و در جهت نشان داده در همین شکل، حرکت داده می‌شد، اندازه‌گیری گردید. اندازه‌گیری زمان پرواز موج در همان میز سه‌محوره مشهود در شکل 6 انجام گرفت، همچنین موقعیت گوه، هنگام اندازه‌گیری زمان پرواز موج، نیز در شکل 9 قابل مشاهده است. پس از اندازه‌گیری زمان پرواز موج در نقاط اندازه‌گیری و با در دست داشتن ضریب آکستوالاستیک مناطق مختلف جوشکاری، تنش پسماند طولی بنا به رابطه (29) به دست آمد که نتایج در شکل 10 مشهود است. از

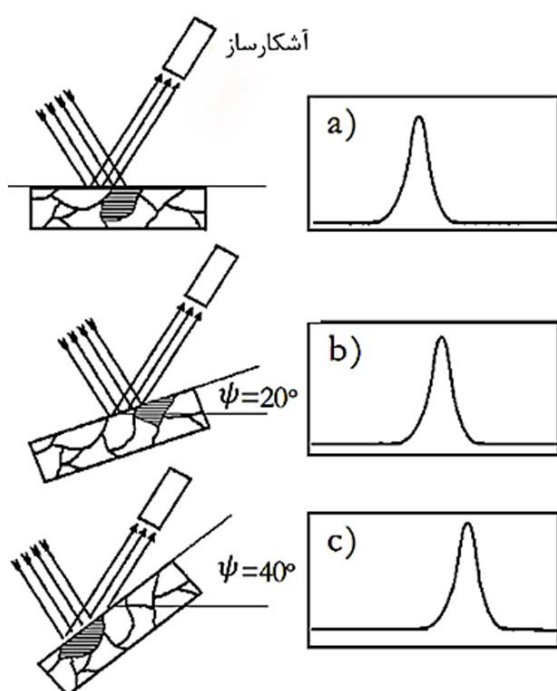
1-Etch

آخر نمودار d بر حسب $\psi \sin^2 \psi$ رسم می‌شود و از شیب نمودار حاصل، در رابطه (32) استفاده می‌شود تا تنش پسماند در هر جهت دلخواه ϕ که در شکل 12 مشخص است، به دست آید. این فرمول از روابط الاستیسیته و اعمال شرط تنش صفحه‌ای به دلیل محدود بودن عمق نفوذ پرتو در ضخامت ماده و اندازه‌گیری تنش سطحی قطعه به دست آمده است.

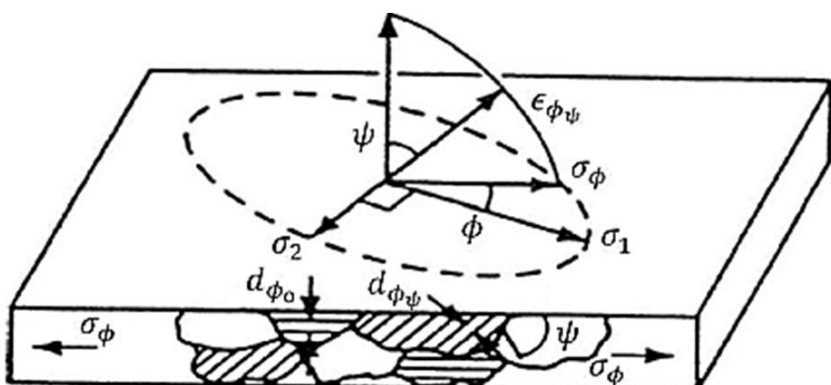
$$\sigma_\phi = \frac{E}{d_{\phi 0}(1+v)} \times \frac{\partial d_{\phi \psi}}{\partial \sin^2 \psi} \quad (32)$$

در رابطه بالا، E مدول الاستیسیته، v ضریب پواسون، $d_{\phi 0}$ فاصله بین صفحات کریستالی در $\psi=0$ و $d_{\phi \psi}$ فاصله بین صفحات کریستالی در زاویه دلخواه ϕ و ψ است [23].

2-3-2- اندازه‌گیری عملی تنش پسماند طولی با روش پراش پرتو ایکس
برای اندازه‌گیری تنش پسماند طولی با روش پراش پرتو ایکس برای اعتبارسنجی نتایج روش التراسونیک، از دستگاه پراش پرتو ایکس اکویناکس² مدل 3000 که ساخت شرکت اینل³ است، مطابق شکل 13 استفاده شد. این دستگاه یکی از جدیدترین و پیشرفته‌ترین نوع دستگاه‌های پراش پرتو ایکس محسوب می‌شود، زیرا در ساخت آن از آشکارساز⁴‌های نوع جدید مکان ثابت⁵ نوع 120 درجه و به شعاع انحنای 250 میلی‌متر) استفاده شده است که سرعت و دقت کار را افزایش داده است. این نوع آشکارسازها (شکل 13) این مزیت مهم را دارند که در مدت زمان کوتاه‌تری نسبت به آشکارسازهای قدیمی، تمام پراش‌های صورت‌گرفته از سطح را به طور همزمان، در طول انحنای خود، دریافت می‌کنند که دیگر



شکل 11 شیب دادن به قطعه در برابر پرتو و جابه‌جایی پیک پراش [22]



شکل 12 محور و جهات مورد استفاده در بحث پراش پرتو ایکس [23]

- 2- Equinox
- 3- Inel
- 4- detector
- 5- CPS

بین دو ترانسdiyosr است. مطابق همان شکل 10 گام‌های طی شده برای اندازه‌گیری تنش پسماند نقاط مقطع مورد بررسی، در راستای عمود بر خط جوش و در حالتی که گوه التراسونیک به موازات خط جوش قرار دارد، است.

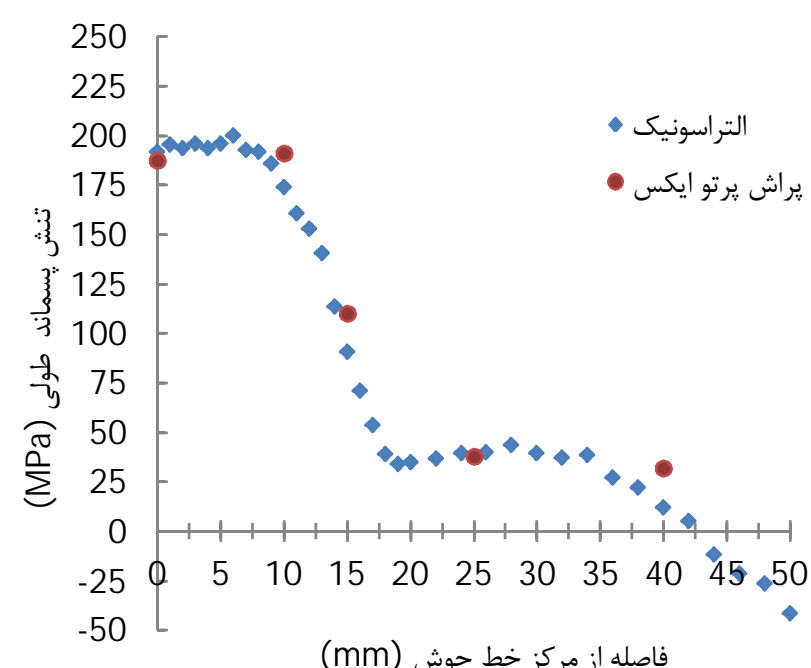
2-3-3- اندازه‌گیری تنش پسماند طولی جوش کاری با روش پراش پرتو ایکس

2-3-1- تئوری اندازه‌گیری تنش پسماند با روش پراش پرتو ایکس
رابطه اساسی در روش پراش پرتو ایکس، قانون برآگ¹ که به صورت رابطه (31) است.

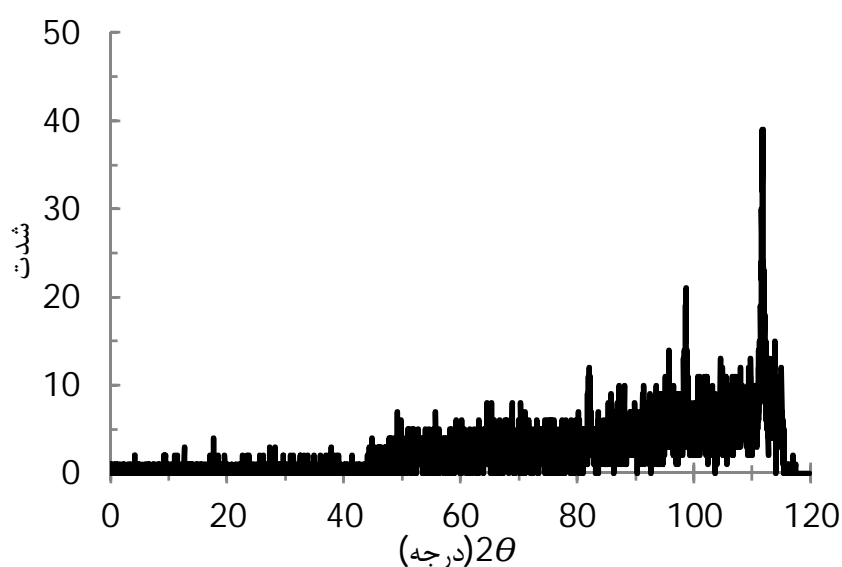
$$n\lambda = 2d \sin\theta \quad (31)$$

در رابطه بالا، n مرتبه انعکاس، λ طول موج پرتو ایکس، d فاصله بین صفحات کریستالی و θ زاویه انعکاس است. در این روش، ابتدا سطح قطعه تحت تابش پرتو ایکس تک طول (طول موج ثابت) موج قرار می‌گیرد؛ سپس پرتوهای منعکس شده در جایی که با هم تداخل سازنده کرده و رابطه برآگ را ارضاء کنند و در نتیجه دارای بیشترین شدت باشند، دریافت می‌شوند و در آن محل یک پیک پراش مشاهده خواهد شد؛ بنابرین براساس رابطه برآگ، در صورت بروز هر تغییری در فاصله صفحات کریستالی، d ، تحت عواملی مانند تنش، زاویه انعکاس، θ ، جابه‌جا خواهد شد. تیوب‌های تولید می‌کنند که سه پرتو پرانرژی تک‌فام واقع طیفی پیوسته از طول موج‌ها تولید می‌کنند که سه پرتو ایکس در آن، $k\alpha_1$ و $k\alpha_2$ نام دارند. البته با انجام فیلتراسیون تلاش می‌شود تا پرتو تک طول موج به سطح قطعه تابیده شود. در اندازه‌گیری تنش پسماند استفاده از پیک‌های پراش دریافت شده با مقدار 2θ در حد 120 درجه و بالاتر از آن توصیه شده است؛ زیرا در این زوایا، پیک‌های پراش دقت و شدت بالاتری دارند و نیز پرتو $k\beta$ از پرتوهای $k\alpha_1$ و $k\alpha_2$ فاصله می‌گیرد و دقت تشخیص مکان دقیق پیک پراش بالاتر رفته و دیگر نیازی به استفاده از فیلتر برای حذف آن، نیست [21].

وجود تنش پسماند در قطعه سبب می‌شود که چنان‌چه به قطعه در برابر پرتو ایکس، چندین بار تحت زاویه ψ شیب داده شود، در هر زاویه شیب، پیک مورد بررسی برای تعیین مقدار تنش پسماند، مطابق شکل 11 مقداری جابه‌جا شود و در هر زاویه شیب، مقدار 2θ و d متفاوتی به دست آید [22]. به همین دلیل، روال کار چنین است که به قطعه در برابر پرتو چندین بار شیب داده می‌شود. سپس در هر زاویه شیب، مقدار d اندازه‌گرفته شده و در



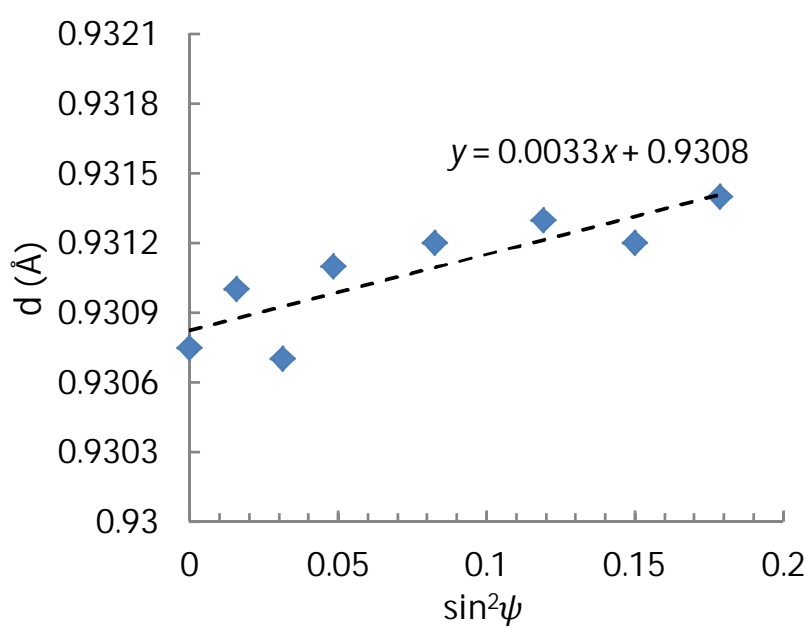
شکل 10 تنش پسماند طولی اندازه‌گیری شده با دو



شکل ۱۴ آنالیز پراش برای انتخاب پیک پراش مناسب

جدول ۶ نتایج پراش برای نقطه واقع روی خط جوش

d (انگستروم)	2θ (درجه)	$\sin^2\psi$	ψ (درجه)	شماره شیب
0/9308	111/893	0	0	1
0/9310	111/875	0/015708	7/2	2
0/9307	111/839	0/031359	10/2	3
0/9311	111/875	0/048332	12/7	4
0/9312	111/839	0/082576	16/7	5
0/9313	111/875	0/119231	20/2	6
0/9312	111/831	0/150168	22/8	7
0/9314	111/766	0/178606	25	8

شکل ۱۵ نمودار $d-\sin^2\psi$ برای نقطه واقع روی خط جوش

جدول ۷ نقاط اعتبارسنجی و تنش پسماند اندازه‌گیری شده با هر دو روش مربوطه

درصد اختلاف %	نتایج (MPa)	اختلاف	تنش پسماند طولی حاصل از روش التراسونیک	تنش پسماند طولی حاصل از روش پراش	فاصله نقطه از مرکز خط جوش (mm)
2/4	4/5	-	192	187/5	0
8/8	-16/8	-	174/2	191	10
17/2	-19	-	91	110	15
6	2/3	-	39/5	37/8	25
-	-19/6	-	12/4	32	40

HAZ و فلز جوش است، تطابق بسیار خوبی بین نتایج دو روش مشاهده

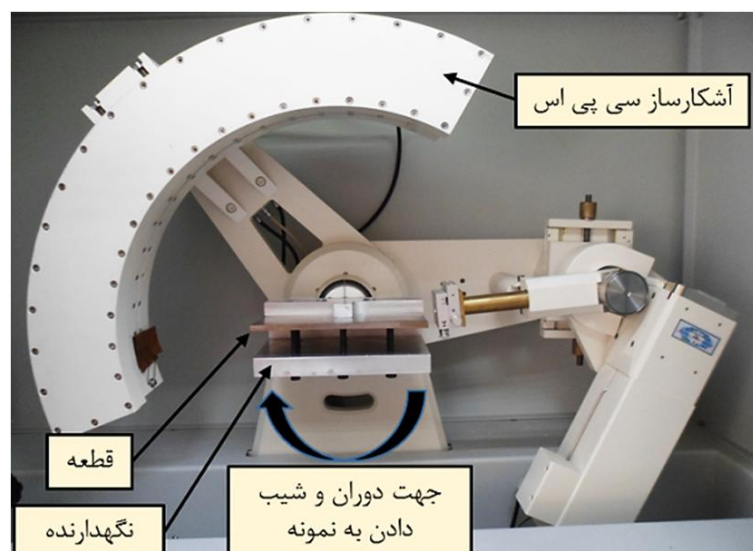
نیازی به حرکت آشکارساز برای دریافت پیک پراش نیست [24]، همچنین این دستگاه دارای قدرت تفکیک¹ خیلی بالایی است، قدرت تفکیک زاویه‌ای این دستگاه در حد 0/01 درجه که بسیار بهتر از رنج پیشنهادی برای بحث اندازه‌گیری تنش پسماند (یعنی محدوده 0/2–0/05 درجه) است [25]. سایر مشخصات دستگاه پراش پرتو ایکس مورد استفاده در جدول ۵ آمده است.

پس از انجام یک آزمون پراش روی قطعه، پیک پراش ظاهرشده در 2θ بین 111 و 112 درجه که دارای شدت و دقت کافی و از لحاظ مکانی نزدیک به 120 درجه بود (شکل ۱۴)، برای بررسی انتخاب شد، همچنین به دلیل انجام فیلتراسیون قوی در دستگاه پراش مورد استفاده، دیگر نگرانی از حضور پرتو $k\beta$ و کاهش دقت اندازه‌گیری وجود نداشت. در هر نقطه مورد اندازه‌گیری تنش پسماند، به قطعه چندین بار تحت زاویه ψ در برابر پرتو ایکس، شیب داده شد که اطلاعات و نتایج به دست آمده برای نقطه روی خط جوش در جدول ۶ درج شده است. درنهایت نمودار d بر حسب $\psi \sin^2\psi$ برای هر یک از نقاط مورد اندازه‌گیری تنش پسماند رسم شد و شیب نمودار حاصل، در رابطه (32) استفاده و مقدار تنش پسماند طولی محاسبه شد. نمودار d بر حسب $\psi \sin^2\psi$ برای نقطه روی خط جوش در شکل ۱۵ نشان داده شده است.

مطابق شکل ۱۰ که پیشتر آورده شد، تنش پسماند طولی در ۵ نقطه واقع بر مقطع مورد مطالعه، با روش پراش پرتو ایکس اندازه‌گیری شد. موقعیت مکانی هر نقطه و مقدار تنش پسماند طولی اندازه‌گیری شده با هر دو روش غیرمخرب مورد استفاده و اختلاف نتایج حاصله، در جدول ۷ درج شده است.

3- بحث روی نتایج

با توجه به شکل ۱۰ و نتایج مندرج در جدول ۷ در ناحیه مهم و اساسی جوش که کمتر از 10 میلی‌متر وسعت دارد و شامل هر دو منطقه حساس



شکل ۱۳ دستگاه پراش پرتو ایکس مورد استفاده

جدول ۵ سایر مشخصات دستگاه پراش پرتو ایکس مورد استفاده

مشخصات دستگاه	مقدار واحد
طول موج پرتو Å	$k\alpha_1$
طول موج پرتو Å	$k\alpha_2$
مشخصات ژنراتور	30mA و 40kV
زمان هر پرتو	350s
مس	نوع تیوب
پیوسته	نوع تابش پرتو

1- Resolution

به بزرگی اندازه تنش‌های پسماند و تنش تسلیم فلز پایه، مقدار کوچکی است.

2. در مناطق دورتر از خط جوش هم که مقدار تنش‌های پسماند کمتر و در حد این قرار دارد، تطابق خوبی مشاهده شد به طوری که بزرگی بیشترین اختلاف نتایج در این محدوده، $19/6$ مگاپاسکال که در مقایسه با تنش تسلیم سازه مقدار کوچکی است.

- محاسبه ضریب آکستوالاستیک برای هر سه ناحیه جوش کاری شامل فلز جوش، HAZ و فلز پایه به صورت جداگانه، دقت نتایج تنش پسماند به دست آمده از روش التراسونیک را افزایش می‌دهد.

5- مراجع

- [1] Y. Javadi, M. Akhlaghi, and M. A. Najafabadi, "Using finite element and ultrasonic method to evaluate welding longitudinal residual stress through the thickness in austenitic stainless steel plates", *Materials & Design*, vol. 45, pp. 628-642, 2013.
- [2] F. D. Murnaghan, "Finite deformations of an elastic solid", *American Journal of Mathematics*, pp. 235-260, 1937.
- [3] D. S. Hughes and J. Kelly, "Second-order elastic deformation of solids, Physical Review", vol. 92, p. 1145, 1953.
- [4] D. Crecraft, "The measurement of applied and residual stresses in metals using ultrasonic waves", *Journal of Sound and Vibration*, vol. 5, pp. 173-192, 1967.
- [5] D. Egle and D. Bray, "Measurement of acoustoelastic and third-order elastic constants for rail steel", *The journal of the Acoustical Society of America*, vol. 60, pp. 741-744, 1976.
- [6] D. M. Egle and D. Bray, Nondestructive Measurement of Longitudinal Rail Stresses: Application of the Acoustoelastic Effect to Rail Stress Measurement, 1978.
- [7] D. Egle, "Application Of The Acoustoelastic Effect To Rail Stress Measurement, in Ultrasonic Materials Characterization", Proceedings of the First International Symposium on Ultrasonic Materials Characterization Held at the National Bureau of Standards, Gaithersburg, Md., June 7-9, 1978, 1980, p. 213.
- [8] T. Leon-Salamanca, "Ultrasonic measurement of residual stress in steels using critically refracted longitudinal waves (LCR)", Texas A & M University, 1988.
- [9] T. Leon-Salamanca and D. Bray, "Residual stress measurement in steel plates and welds using critically refracted longitudinal (LCR) waves", *Journal of Research in Nondestructive Evaluation*, vol. 7, pp. 169-184, 1996.
- [10] H. Lu, X. Liu, J. Yang, S. Zhang, and H. Fang, "Ultrasonic stress evaluation on welded plates with LCR wave", *Science and Technology of Welding & Joining*, vol. 13, pp. 70-74, 2008.
- [11] S. Gachi, F. Boubenider, and F. Belahcene, "Residual stress, microstructure and microhardness measurements in AA7075-T6 FSW welded sheets", *Nondestructive Testing and Evaluation*, vol. 26, pp. 1-11, 2011.
- [12] Y. Javadi, "Residual Stress Evaluation through Thickness of an Austenitic Stainless Steel Welded Joint by using Ultrasonic Technique", PhD Thesis, Mechanical Engineering, Amirkabir University, Tehran, 2012. (In Persian)
- [13] Y. Javadi, H. S. Pirzaman, M. H. Raeisi, and M. A. Najafabadi, "Ultrasonic inspection of a welded stainless steel pipe to evaluate residual stresses through thickness", *Materials & Design*, vol. 49, pp. 591-601, 2013.
- [14] DIN EN 15305, EUROPEAN STANDARD, Non-destructive testing-Test method for residual stress analysis by X-ray diffraction, 2009.
- [15] AWS Standard D1.6/D1.6M, American Welding Society, Structural Welding Code-Aluminum, An American National Standard, 2003.
- [16] M. Eftekhar, "Simulation of longitudinal residual stress in welded austenitic stainless steel plates and evaluation with x-ray diffraction and ultrasonic methods", MSc Thesis, Mechanical Engineering, Amirkabir University, Tehran, 2014. (In Persian)
- [17] D. Egle and D. Bray, "Measurement of acoustoelastic and third-order elastic constants for rail steel", *The journal of the Acoustical Society of America*, vol. 60, pp. 741-744, 1976.
- [18] S. Sadeghi, M. A. Najafabadi, Y. Javadi, and M. Mohammadisefat, "Using ultrasonic waves and finite element method to evaluate through-thickness residual stresses distribution in the friction stir welding of aluminum plates", *Materials & Design*, vol. 52, pp. 870-880, 2013.
- [19] D. J. Minicuci, A. A. dos Santos Junior, M. H. Andriolo, and F. de Carvalho Santos, "Stress evaluation of railroad forged wheels by ultrasonic testing", *Journal of Testing and Evaluation*, vol. 35, p. 66, 2007.
- [20] Ueda, Yukio, Hidekazu Murakawa, and Ninshu Ma. "Welding deformation and residual stress prevention". Elsevier, p. 7, 2012.

می‌شود؛ بزرگی بیشترین اختلاف نتایج در این محدوده، $16/8$ مگاپاسکال، که نسبت به بزرگی اندازه تنش‌های پسماند مقدار کوچکی است.

در نواحی 10 تا 25 میلی‌متری از خط جوش نیز تطابق نتایج، خوب است و بزرگی بیشترین اختلاف، برابر 19 مگاپاسکال است، ولی در فواصل دورتر از خط جوش مانند نقطه واقع در 40 میلی‌متری از خط جوش که تنش پسماند، مقادیر کوچک‌تری دارد و خطری اینمی سازه را تهدید نمی‌کند، مقدار اختلاف نتایج مقداری بیشتر شده است و برابر $19/6$ مگاپاسکال، که در مقایسه با تنش تسلیم سازه مقدار کوچکی است.

همان‌طور که در شکل 10 مشهود است، در گام‌های 1 میلی‌متری، تنش پسماند طولی جوش کاری با روش التراسونیک اندازه‌گیری شده است. از آن جا که قطر پرابها 5 میلی‌متر است، بنابراین در هر گام، میانگین تنش پسماند، در عرض یک ناحیه 5 میلی‌متری اندازه‌گیری شده است، ولی از آنجایی که پهنه‌ای پرتو ایکس تابیده شده روی سطح نیز همین مقدار است؛ بنابراین مشکلی در اعتبارسنجی و مقایسه نتایج دو روش پرتو ایکس و التراسونیک وجود ندارد.

از دلایل وجود اختلاف بین نتایج دو روش، می‌توان به عوامل زیر اشاره کرد:

- موقعیت‌دهی احتمالی نامناسب گوه التراسونیک به هنگام آزمون نقاط که سبب موازی قرار نگرفتن گوه التراسونیک در راستای خط جوش شده و در نتیجه سبب ایجاد مقداری خطأ می‌شود.
- اندازه‌گیری‌شدن میانگین تنش پسماند طولی بین دو ترانسdiyosr به دلیل وجود فاصله بین ترانسdiyosrها در طراحی گوه.
- احتمال بروز خطاهای کوچک در طراحی و ساخت گوه و به تبع آن در ایجاد و ارسال موج LCR در قطعه.
- اندازه‌گیری‌شدن میانگین تنش پسماند طولی در عمق قطعه زیرا موج LCR در ضخامت معینی زیر سطح قطعه حرکت می‌کند نه فقط روی خود سطح.

4- نتیجه‌گیری

در این پژوهش قابلیت روش التراسونیک در اندازه‌گیری تنش پسماند طولی ناشی از جوش کاری بررسی شد. بدین‌منظور دو ورق از جنس آلومینیوم سری 5000 با روش جوش کاری تیگ به هم متصل شدند. سپس در یک مقطع معین از سطح قطعه، تنش پسماند طولی با روش التراسونیک اندازه‌گیری شد. درنهایت برای اعتبارسنجی نتایج روش التراسونیک، در 5 نقطه از مقطع مورد بررسی، تنش پسماند طولی با روش پرتو ایکس اندازه‌گیری شد و با نتایج روش التراسونیک مقایسه که نتایج زیر حاصل شد:

- روش التراسونیک قادر به پیش‌بینی پروفیل و شکل نمودار تنش پسماند طولی است.
- روش التراسونیک قابلیت اندازه‌گیری تنش پسماند طولی ناشی از جوش کاری را در قطعات از جنس آلیاژ آلومینیوم سری 5000 دارد به‌طوری که میزان تطابق دو روش التراسونیک و پرتو ایکس، بسته به حساسیت منطقه مورد بررسی به شرح زیر است:

1. بهترین تطابق نتایج روش التراسونیک و پرتو ایکس در ناحیه حساس و پرتنش جوش و نواحی نزدیک به آن است که بزرگی بیشترین اختلاف نتایج در این محدوده، $16/8$ مگاپاسکال که نسبت

- J784a, Society of Automotive Engineers, Warrendale, PA, pp. 19, 1971.
- [24] V. Pecharsky and P. Zavalij, "Fundamentals of powder diffraction and structural characterization of materials", Springer, 2008.
- [25] M. Fitzpatrick, A. Fry, P. Holdway, F. Kandil, J. Shackleton, and L. Suominen, "Determination of residual stresses by X-ray diffraction", p. 45, 2005.
- [21] Adachi, Tomohiko, et al, "Measurement of microscopic stress distribution of multilayered composite by X-ray stress analysis", *Materials Letters* 57.20, 3057-3062, 2003.
- [22] V. Hauk, "Structural and residual stress analysis by nondestructive methods: Evaluation-Application-Assessment", Elsevier, 1997.
- [23] M. E. Hilly, "Residual stress measurement by X-ray diffraction", SAE